

شیوه‌سازی پایا و بهینه‌سازی رآکتور ثابت بستر تولید دی‌متیل اتر

محمد فارسی، عبدالحسین جهانمیری^{*}، رضا اسلاملوئیان

شیراز، دانشگاه شیراز، دانشکده مهندسی شیمی، نفت و گاز

پیام نگار: Jahanmir@shirazu.ac.ir

چکیده

تلاش برای یافتن سوخت‌های سبز و سازگار با محیط‌زیست، منجر به توجه محققان به دی‌متیل اتر به عنوان سوختی با بهسوزی بالا و سازگار با محیط‌زیست شده است. در این مقاله، فرایند سنتز دی‌متیل اتر به روش آب‌زدایی از متابول که شامل رآکتور ثابت بستر آدیباتیک و تبادلگر پیش‌گرمکن خوراک می‌باشد، در حالت پایا و ناهمگن و براساس معادلات بقای جرم و انرژی شیوه‌سازی شده است. جهت بررسی صحت شیوه‌سازی، نتایج شیوه‌سازی با داده‌های طراحی مقایسه قرار شده‌اند. همچنین، به منظور بهینه‌سازی فرایند و افزایش غلاظت دی‌متیل اتر خروجی از فرایند، دمای بهینه خوراک ورودی به رآکتور که منجر به بیشینه شدن غلاظت دی‌متیل اتر در خروجی از رآکتور می‌شود، به دست آمده است.

کلمات کلیدی: رآکتور ثابت بستر، شیوه‌سازی پایا، مدل‌سازی ناهمگن، بهینه‌سازی فرایند

۱- مقدمه

است. در گذشته، از دی‌متیل اتر بیشتر به عنوان پیشرانه افسانه‌ها و سرماساز جایگزین کلروفلوروکربن‌ها، و سنتز بعضی مواد خاص استفاده می‌شد^[۱]. این ماده یکی از امید بخش‌ترین گزینه‌های مورد بررسی برای جایگزینی به جای سوخت‌های دیزلی است. دی‌متیل اتر می‌تواند در زمینه‌های مختلفی از قبیل سوخت مورد نیاز نیروگاه‌ها، حمل و نقل، گرامایش خانگی و پخت و پز مورد استفاده قرار گیرد^[۲]. در این ماده، مقدار دی‌اکسیدنیتروژن و مشتقات گوگرد بسیار پایین است که نشانگر مزیت‌های زیست‌محیطی دی‌متیل اتر می‌باشد. همچنین، به خاطر عدم پیوند کربن-کربن در ساختار این ماده، تشکیل دوده از احتراق آن بسیار ناچیز است^[۳]. در صورت انتشار دی‌متیل اتر در محیط زیست، این ماده در همان لایه‌های پایینی جو تجزیه می‌شود و مشکلی برای لایه ازن ایجاد نمی‌کند. به طور کلی،

با توجه به روند رو به رشد جوامع شهری و گسترش صنعت و زندگی صنعتی، مسئله محیط‌زیست و آلودگی‌های زیست‌محیطی به یکی از معضلات مهم جوامع بشری تبدیل شده است. امروزه دولتها هزینه‌های هنگفتی را در زمینه کاهش آلودگی‌های زیست‌محیطی می‌پردازند، ولی باز هم این معضل بر سر جای خود باقی مانده است. یکی از مهمترین عناصر آلاندۀ محیطی، سوخت‌های فسیلی است، که به وفور در مراکز شهری و صنعتی در حال مصرف می‌باشند. لذا، در سازمان‌ها و مراکز تحقیقاتی، تحقیقات گستردگای در مورد سوخت‌های پاک و سازگار با محیط‌زیست در حال انجام است. در میان گزینه‌های مطرح شده، با توجه به مشخصات مناسب بهسوزی و زیست‌محیطی دی‌متیل اتر، این ماده بسیار مورد توجه قرار گرفته

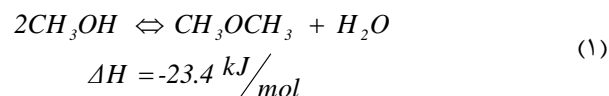
کاتالیزی و در حالت پایا شبیه‌سازی کردند[۷]. ناصحی و همکاران، فرایند تولید این ماده را از متانول، در یک رآکتور صنعتی ثابت بستر لوله‌ای و در حالت پایای همگن مدلسازی و شبیه‌سازی کردند[۸]. آنها نشان دادند که نتایج مدلسازی یک بعدی و دو بعدی اختلاف ناچیزی دارند. در این مقاله علاوه بر شبیه‌سازی تبادلگر پیش‌گرمکن خوراک ورودی به رآکتور، رآکتور تولید دی‌متیل‌اتر در حالت ناهمگن و بر اساس اطلاعات رآکتور پتروشیمی زاگرس شبیه‌سازی گردید.

همچنین با توجه به اهمیت بهینه‌سازی فرایندها، به دلیل کاهش هزینه‌های عملیاتی و افزایش سود، بهترین دما برای خوراک ورودی که منجر به بیشینه‌شدن غلظت دی‌متیل‌اتر در خروجی رآکتور می‌شود به دست آورده شده است.

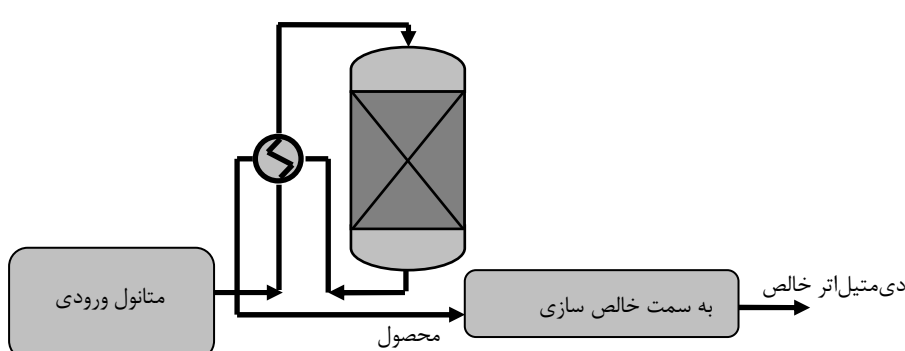
۲- معرفی فرایند

فرایند دی‌متیل‌اتر شامل یک تبادلگر حرارتی جهت پیش‌گرم‌کردن خوراک، رآکتور آدیاباتیک ثابت بستر و قسمت خالص‌سازی است. در این فرایند، متانول ابتدا در تبادلگر حرارتی گرم می‌شود و سپس به رآکتور آدیاباتیک ثابت بستر وارد می‌گردد. برای گرم‌کردن متانول سرد در تبادلگر حرارتی از گرمای محصولات خروجی از رآکتور استفاده می‌شود. سپس محصولات خروجی به قسمت خالص‌سازی فرستاده می‌شوند. در قسمت خالص‌سازی با استفاده از برج‌های تقطیر آب، دی‌متیل‌اتر تولید شده و متانول واکنش نداده از یکدیگر جدا می‌شوند. متانول واکنش نداده پس از آماده سازی دوباره با خوراک واحد، ترکیب می‌گردد و وارد رآکتور می‌شود. در شکل (۱) نمای فرایند سنتز دی‌متیل‌اتر نشان داده شده است. همچنین در جدول (۱) مشخصات خوراک ورودی به رآکتور صنعتی آورده شده است.

دی‌متیل‌اتر از دو روش آب‌زدایی از متانول و یا به طور مستقیم، از گاز سنتز تولید می‌شود. سنتز دی‌متیل‌اتر از متانول خالص شده طبق واکنش زیر انجام می‌گیرد:



در روش سنتز مستقیم، در یک رآکتور دوغایی کاتالیزی، گاز سنتز به صورت حباب از درون یک رogen معدنی بی‌اثر عبور می‌کند و دی‌متیل‌اتر تولید می‌شود[۴]. در این نوع رآکتور، خارج کردن گرمای واکنش بسیار آسان و مؤثر انجام می‌گیرد، اما وجود مقاومت انتقال جرم در فاز مایع موجب کاهش بازدهی سیستم می‌شود. در حال حاضر، در مقیاس تجاری دی‌متیل‌اتر را از آبگیری متانول و در رآکتور ثابت بستر کاتالیزی به دست می‌آورند[۵]. با توجه به میزان کم گرمای واکنش آب‌زدایی از متانول، رآکتورهای آدیاباتیک ثابت بستر به خاطر طراحی ساده و سادگی در عملیات در شرایط پایا اولین انتخاب برای تولید این ماده می‌باشند. اما به خاطر رفتار غیرخطی و وجود زمان مرده در فرایند، استفاده از سیستم‌های کنترل کننده مدرن برای قرار دادن رآکتور در شرایط پایا امری اجتناب‌ناپذیر است. طبق بررسی‌های انجام شده در مورد رآکتورهای آزمایشگاهی تولید دی‌متیل‌اتر، رآکتورهای سیال بستر به عنوان بهترین انتخاب برای تولید این ماده پیشنهاد شده‌اند[۶]. در این رآکتورها علاوه بر نرخ انتقال گرمای بالا، میزان افت فشار نیز ناچیز است، در مورد مدلسازی و شبیه‌سازی فرایند تولید دی‌متیل‌اتر از متانول تحقیقات چندانی انجام نشده است. لی و همکاران در سال ۲۰۰۶ تولید دی‌متیل‌اتر را از گاز سنتز در یک رآکتور ثابت بستر



شکل ۱- نمای فرایند سنتز دی‌متیل‌اتر

۴- مدلسازی فرایند

۴-۱ مدلسازی رآکتور

در مدلسازی رآکتور آدیباگتیک سنتز دی‌متیل‌اتر، از معادلات جرم و انرژی به همراه معادلات مربوط به سرعت واکنش و معادلات کمکی استفاده شده است. فرض‌های اعمال شده در شبیه‌سازی به شرح زیر می‌باشند.

- به دلیل آدیباگتیک بودن رآکتور و نمودار یکنواخت گرما در داخل رآکتور از تغییرات غلظت در جهت شعاع، صرفنظر شده است [۸].

- از انتقال گرمای رآکتور به محیط اطراف صرفنظر شده است.

- به دلیل کوچک بودن عدد بایوت ($125/00$) برای کاتالیزگر، دانه‌های کاتالیزگر به صورت جسم فشرده در نظر گرفته شده اند (نمودار دما در داخل کاتالیزگر وجود ندارد).

معادله جرم به دست آمده از مدلسازی برای فاز گاز به صورت زیر است:

$$\frac{d(u_s C_i)}{dz} = -k_g a_v (C_i - C_{is}^s) \quad (5)$$

معادله انرژی به دست آمده از مدلسازی برای فاز گاز به صورت زیر

است:

$$\frac{d(u_s \rho_g c_{pg} T)}{dz} = -h_f a_v (T_s^s - T) \quad (6)$$

جدول ۲- ثابت‌های معادله سرعت

$k = A \exp^{B/RT}$		
B	A	ثابت
-105000	3/7 $\exp(10)$	k
41100	0.84 $\exp(-1)$	K_{H_2O}
7050	7/9 $\exp(-4)$	K_{CH_3OH}

جدول ۳- مشخصات فیزیکی رآکتور و کاتالیزگر

۴	قطر رآکتور (متر)
8/07	طول رآکتور (متر)
5/08	قطر کاتالیزگر (میلی متر)
2050	چگالی کاتالیزگر
0/5	تخلخل

جدول ۱- مشخصات خوراک ورودی به رآکتور

مشخصات	مقدار
دما (کلوین)	533
فشار (بار)	18/18
شدت جریان جرمی (کیلوگرم / ثانیه)	50/81
کسر مولی مтанول	٪ ۹۴
کسر مولی آب	٪ ۱
کسر مولی دی‌متیل‌اتر	٪ ۵

۳- سینتیک واکنش

سرعت واکنش تولید دی‌متیل‌اتر از گاز سنتز و مтанول را محققان بسیاری مورد مطالعه قرار داده‌اند. جهت استفاده از این معادلات سرعت، لازم است تا کاتالیزگر رآکتور صنعتی (گاما آلومین) و کاتالیزگر مورد بررسی در آزمایشگاه، یکسان باشند. در این مقاله از معادله سرعت واکنش ارائه شده توسط برچیج و همکاران (برای آب‌زدایی از مтанول و در حضور کاتالیزگر گاما آلومین) استفاده شده است [۹]. معادله سرعت واکنش به صورت زیر است:

$$r = \frac{k \cdot K_{CH_3OH}^{\gamma} \left(C_{CH_3OH} - \frac{(C_{C,H,O} C_{H,O})}{K_{eq}} \right)}{\left(1 + 2 \left(K_{CH_3OH} C_{CH_3OH} \right)^{\delta} + K_{H_2O} C_{H_2O} \right)^{\epsilon}} \quad (2)$$

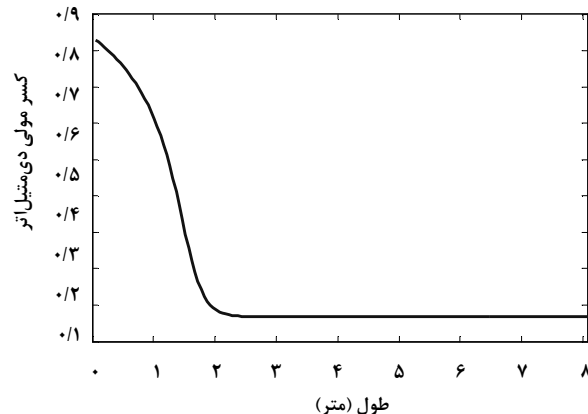
که در این رابطه

$$\ln(K_{eq}) = 0.86 \log T + \frac{3138}{T} + 1.33 \times 10^{-3} T - 1.23 \times 10^{-5} T^2 + 3.5 \times 10^{-10} T \quad (3)$$

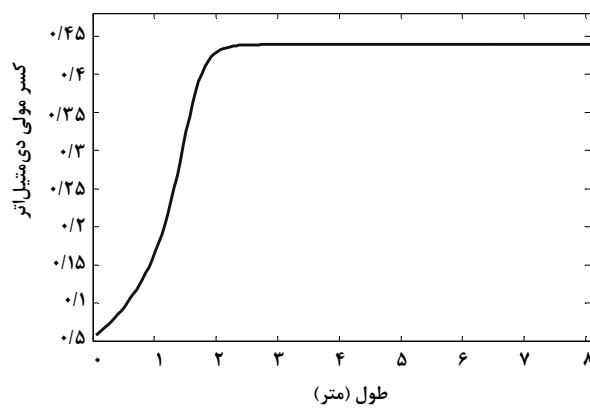
ثابت‌های معادله سرعت واکنش در جدول (۲) ارائه شده اند. همچنین مشخصات فیزیکی رآکتور و کاتالیزگر در جدول (۳) آمده‌اند.

$$k = A(i) \exp^{B(i)/RT} \quad (4)$$

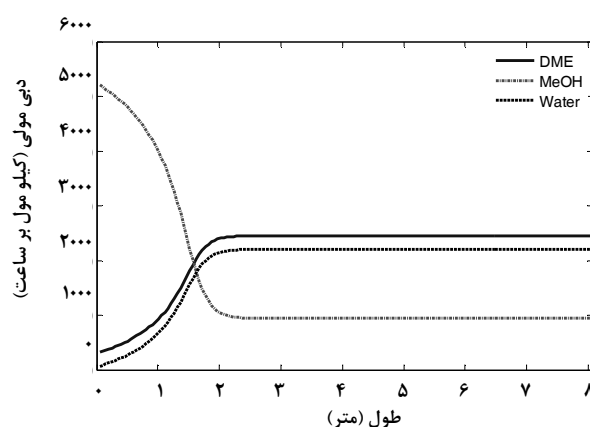
است، زیرا با کاهش فعالیت کاتالیزگر، نقطه تعادل به سمت خروجی رآکتور جابه‌جا می‌شود. در شکل (۴) نمودار شدت جریان مولی متانول، دی‌متیل‌اتر و آب در طول رآکتور آورده شده است. نمودار دما در طول رآکتور نیز در شکل (۵) نشان داده شده است.



شکل ۲- تغییرات کسر مولی متانول در طول رآکتور



شکل ۳- تغییرات کسر مولی دی‌متیل‌اتر در طول رآکتور



شکل ۴- نمودار شدت جریان مولی متانول، دی‌متیل‌اتر و آب

معادلات جرم و انرژی به دست آمده از مدلسازی برای فاز جامد نیز به ترتیب زیر می‌باشند.

$$\eta \rho_B r_i = k_g a_v (C_i - C_{is}^s) \quad (7)$$

$$\eta \rho_B r (-\Delta H) = h_f a_v (T_s^s - T) \quad (8)$$

۴- مدلسازی تبادلگر حرارتی

تبادلگر حرارتی مورد استفاده از نوع پوسته و لوله و دارای ضریب انتقال گرمای کلی ۴۸۰ و سطح انتقال گرمای ۳۵ متر مربع است. از معادلات زیر برای مدلسازی تبادلگر استفاده شده است. لازم به ذکر است که دمای خوارک ورودی به تبادلگر حرارتی، ۴۴۵ کلوین است.

$$\frac{dT_{hot}}{dz} = \frac{U \pi d}{(m^\circ C_p)_{hot}} (\Delta T)_{LMTD} \quad (9)$$

$$(m^\circ C_p)_{hot} \cdot dT_{hot} = (m^\circ C_p)_{cold} \cdot dT_{cold} \quad (10)$$

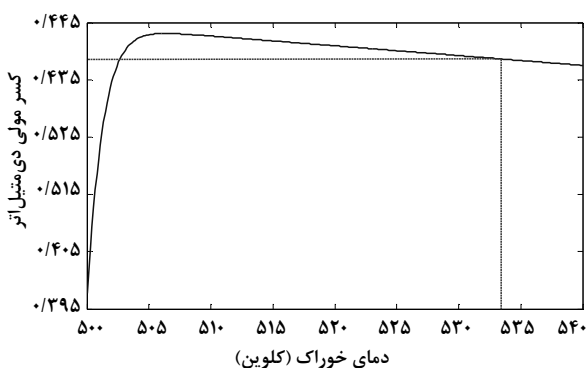
۵- نتایج

جهت حل همزمان معادلات مربوط به تبادلگر حرارتی و رآکتور، از سعی و خطأ استفاده شده است. روش حل به این صورت است که ابتدا یک دما برای خروجی رآکتور پیش‌بینی می‌شود و سپس معادلات مربوط به تبادلگر حرارتی حل می‌شوند و دمای ورودی به رآکتور به دست می‌آید، سپس با در دست داشتن دمای ورودی به رآکتور، دمای خروجی محاسبه می‌شود. در صورت یکسان نبودن دمای به دست آمده و پیش‌بینی شده، محاسبات، دوباره تکرار می‌شوند تا این دو دما به هم نزدیک شوند. در شکل (۲) میزان تغییرات کسر مولی متانول در طول رآکتور آورده شده است. همان‌طور که مشاهده می‌شود در طول رآکتور، از میزان متانول کاسته می‌شود. در شکل (۳) میزان تغییرات غلظت دی‌متیل‌اتر در طول رآکتور نشان داده شده است.

همان‌طور که از شکل‌ها مشخص است، واکنش تقریباً در ۲/۵ متری رآکتور به پایان رسیده و تعادل در رآکتور اتفاق می‌افتد. طول اضافه در نظر گرفته شده برای رآکتور، جهت کاهش فعالیت کاتالیزگر

خوراک واحد صنعتی ۵۳۳ کلوین است. همان‌طور که از شکل، مشخص است در دمای پایین، میزان تبديل واکنش به شدت افت می‌کند و از تولید محصول کاسته می‌شود. در جدول (۵) مقدار دی‌متیل‌اتر و متنالو خروجی از رآکتور در شرایط کار بهینه نشان داده شده است.

میزان افزایش در تولید دی‌متیل اتر ۴۴/۶ کیلوگرم مول بر ساعت است که این افزایش در تولید، تنها با تنظیم دمای ورودی به رآکتور میسر خواهد شد. درصد افزایش تولید در شدت جریان دی‌متیل‌اتر نیز در حالت بهینه نسبت به حالت قبل ۱۸/۱٪ خواهد بود.



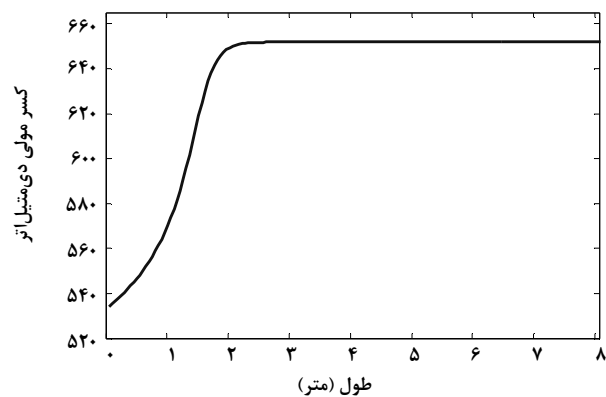
شکل ۶- تغییرات کسر مولی دی‌متیل‌اتر خروجی
با تغییر دمای خوراک ورودی به رآکتور

جدول ۵- شدت جریان مولی محاسبه شده در حالت بهینه

نام ماده	شدت جریان مولی محاسبه شده (ساعت / کیلوگرم مول)	شدت جریان مولی محاسبه شده (ساعت / کیلوگرم مول)
متنالو	۰/۹۲۴	۹۴۳۶/۵
دی‌متیل‌اتر	۰/۲۴۸۱	۲۴۳۶/۶

۶- نتیجه‌گیری

در این مقاله، حلقه فرایند تولید دی‌متیل‌اتر از آب‌زادایی متنالو که شامل رآکتور ثابت بستر کاتالیزی و تبادلگر پیش گرمکن خوراک می‌باشد، در حالت پایای ناهمگن مدل‌سازی و شبیه‌سازی شد و تغییرات دما، غلظت متنالو و دی‌متیل‌اتر در طول رآکتور به دست آمد. همچنین جهت بررسی صحت مفروضات اعمال شده و دقت مدل‌سازی، داده‌های حاصل از شبیه‌سازی با داده‌های طراحی فرایند مورد مقایسه قرار گرفت. همان‌طور که نشان داده شد، این نتایج



شکل ۵- نمودار دما در طول رآکتور

برای بررسی دقیق و صحیح شبیه‌سازی یک بعدی، داده‌های شبیه‌سازی با داده‌های طراحی پتروشیمی زاگرس در جدول (۴) مقایسه شده‌اند.

جدول ۴- مقایسه شدت جریان مولی محاسبه شده
یک بعدی با داده‌های طراحی

نام ماده	مولی محاسبه شده (ساعت / کیلوگرم مول)	شدت جریان مولی محاسبه شده (ساعت / کیلوگرم مول)	داده‌های طراحی پایه (ساعت / کیلوگرم مول)	درصد خطای نسبی
متنالو	۹۴۰/۸	۹۴۳۶/۵	۹۴۳۶/۵	% ۰/۳
دی‌متیل‌اتر	۲۴۳۶/۶	۲۴۱۶/۱	۲۴۱۶/۱	% ۰/۸۹

در مورد بهینه‌سازی رآکتور، بهترین دما برای ورودی به رآکتور، که موجب تولید بیشترین مقدار دی‌متیل‌اتر در خروجی می‌شود، به دست آورده شده است. در واکنش‌های تعادلی و گرمایش، با افزایش دما میزان سرعت واکنش افزایش می‌یابد ولی در عوض، طبق اصل لوسانثایه، واکنش ممکن است به سمت برگشت میل کند. لذا برای این گونه واکنش‌ها دمای بهینه‌ای وجود دارد که موجب بیشینه شدن مقدار محصول واکنش می‌شود. در شکل (۶) میزان تغییرات کسر مولی دی‌متیل‌اتر در خروجی رآکتور با تغییر دمای خوراک ورودی به رآکتور آورده شده است. همان‌طور که از شکل (۶) مشخص است کسر مولی دی‌متیل‌اتر در این فاصله دمایی دارای یک مقدار بیشینه است که در این دما بیشترین مقدار تولید دی‌متیل‌اتر را خواهیم داشت. چنان‌که در شکل (۶) قابل مشاهده است، دمای بهینه خوراک ورودی به رآکتور ۵۰۶/۵ کلوین و میزان غلظت دی‌متیل‌اتر در خروجی رآکتور ۰/۴۳۳ است، در حالی که دمای

مراجع

- [1] Arcoumanis C., Bae C., Crookes R., Kinoshita E., "The potential of dimethyl ether (DME) as an alternative fuel for compression-ignition engines: A review", Fuel, Vol. 87, pp. 1014–1030, (2008).
- [2] Semelsberger T.A., Borup R.L., Greene H.L., "Dimethyl ether (DME) as an alternative fuel", Journal of Power Sources, Vol. 156(2), pp. 497–511, (2006).
- [3] Kang M.Q., Ren Z.X. "preparation and application of dimethyl ether", Synthesis Chem, Vol. 2(4), pp.320-323, (1994).
- [4] Guo, J.W., Niu, Y.Q., Zhang, B.J., "Macro kinetics study on DME synthesis from syngas in slurry reactor", Natural Gas Chemical Industry, Vol. 25, pp. 4–7, (2000).
- [5] Lu, W.Z., Teng, L.H., Xiao, W.D., "Simulation and experiment study of Dimethyl ether synthesis from syngas in a fluidized-bed reactor", Chemical Engineering Science, Vol. 59, pp. 5455–5464, (2004).
- [6] Xiao, W.D., Lu, W.Z., "A novel technology of DME synthesis from syngas", Patent No. CN1332141, China, (2002).
- [7] Lee S. B., Cho W., Park D.K., Yoon E.S., "Simulation of fixed bed reactor for dimethyl ether synthesis", Korean J. Chem. Eng., Vol. 23(4), pp. 522–530, (2006).SHORT COMMUITION
- [8] Nasehi S.M., Eslamgueyan R., Jahanmiri A., "Simulation of DME reactor from methanol", proceedings of The 11nd chemical engineering conference (2006).
- [9] Berčič G., Levec J., "Intrinsic and Global Reaction Rate of Methanol Dehydration over γ -Al₂O₃ Pellets", Ind. Eng. Chem. Res., Vol. 31, pp. 1035-1040 (1992).

توافق نسبتاً مناسبی با داده های طراحی دارند. همچنین برای بهینه سازی رآکتور، دمای بهینه خوراک ورودی به رآکتور برای بیشینه کردن غلظت خروجی از رآکتور به دست آمد و نشان داده شد که با بهینه سازی دمای خوراک ورودی، بر تولید دی‌متیل‌اتر ۱۸٪ افزوده خواهد شد. این میزان افزایش تولید سالانه، با احتساب یک سال کاری کامل واحد، ۱۷۰۰۰ تن خواهد بود.

نشانه ها

a_v (m^2/m^3)	سطح ویژه در دسترس برای انتقال جرم و گرما
h_f ($W/m^2.s$)	ضریب انتقال گرما در سیال
k_{gi} (m/s)	ضریب انتقال جرم بین فاز گاز و ذرات جامد
r_i (mole/kg.hr)	سرعت واکنش برای جزء i
T (K)	دماهی فاز گاز
T_s (K)	دماهی کاتالیزگر
C_i (mole/ m^3)	غلظت جزء i در فاز گاز
C_{is} (mole/ m^3)	غلظت جزء i در فاز جامد
z (m)	محور عمودی رآکتور

نشانه های یونانی

ΔH (KJ/mole)	آنالپی تشکیل
ϵ	کسر فضای خالی بستر کاتالیزگر
η_i (-)	ضریب کارآیی
λ_{er} (W/m.K)	ضریب هدایت گاز
ρ_B (kg/ m^3)	چگالی جامد
ρ_g (kg/ m^3)	چگالی گاز

بالانویس ها

0	شرایط ورودی
f	فاز سیال
s	فاز جامد